

بررسی تجربی و عددی ایجاد دانه سرگردان در فرآیند رشد تکبلور سوپرآلیاژ پایه نیکل*

محسن قنبری حقیقی^(۱)سعید شبستری^(۲)محمد رضا ابوطالبی^(۳)

چکیده

جوانه‌زنی دانه‌های سرگردان در فرآیند رشد تکبلور به روش بریجمن در سرعت رشد ۳، ۵ و ۷ میلی‌متر بر دقیقه مورد ارزیابی قرار گرفت. بررسی‌ها نشان دهنده کاهش گرادیان دمایی در اثر افزایش سرعت حرکت نمونه از کوره و جوانه‌زنی دانه‌های سرگردان در جلوی جبهه رشد دانه‌های ستونی است. بررسی‌های عملی رشد تکبلور سوپرآلیاژ پایه نیکل نشان داد که سرعت رشد ۳ میلی‌متر بر دقیقه منجر به ایجاد ساختار تکبلور با جهت بلوری نزدیک به $<100>$ در راستای خروج حرارت می‌شود. در سرعت‌های رشد بیش از ۳ میلی‌متر بر دقیقه، جوانه‌زنی دانه هم محور رخ می‌دهد.

واژه‌های کلیدی رشد تکبلور، دانه‌های سرگردان، گرادیان دمایی، سرعت رشد، شبیه‌سازی عددی.

Numerical and Experimental Evaluation of Stray Grains Formation During Single Crystal Growth

M. Ghanbari

S. G. Shabestari

M. R. Aboutalebi

Abstract

Stray grain formation during single crystal growth with growth rates of 3, 5 and 7 mm/min has been assessed. The results revealed that increasing the growth rate resulted in the decrement of thermal gradient in the solidification front and caused stray grain formation in the solidification front of the columnar grain growth. Experimental and numerical results showed that a well-oriented $<001>$ single crystal structure is obtained at a growth rate of 3 mm/min in Ni-based superalloy. Stray grain formation occurred at growth rates greater than 3 mm/min, as a result of high growth rate and low thermal gradient.

Key words Single Crystal Growth, Stray Grains Formation, Thermal Gradient, Growth Rate, Numerical Simulation.

* نسخه نخست مقاله در تاریخ ۹۳/۲/۲۷ و نسخه پایانی آن در تاریخ ۹۳/۷/۱ به دفتر نشریه رسیده است.

(۱) نویسنده مسئول: دانشجوی دکترا، قطب علمی فناوری آلیاژهای با استحکام بالا، دانشکده مهندسی مواد و متالورژی، دانشگاه علم و صنعت ایران.
Email: ghanbari@iust.ac.ir

(۲) استاد، قطب علمی فناوری آلیاژهای با استحکام بالا، دانشکده مهندسی مواد و متالورژی، دانشگاه علم و صنعت ایران.

(۳) استاد، قطب علمی فناوری آلیاژهای با استحکام بالا، دانشکده مهندسی مواد و متالورژی، دانشگاه علم و صنعت ایران.

خواص مکانیکی قطعه در دمای بالا می‌گردد. در سوپرآلیاژهای نسل سوم، با افرودن عناصر مقاوم‌ساز مرزدانه‌ای، نظیر کربن، مرزدانه‌های ناخواسته مستحکم می‌گردد و بدین صورت افت خواص مکانیکی کاهش می‌یابد [۱۰، ۱۱]. با این وجود، جلوگیری از تشکیل دانه‌های سرگردان در فرآیند رشد تکبلور سوپرآلیاژهای پایه نیکل به جهت جلوگیری از افت خواص مکانیکی اهمیت بسزایی دارد.

ساختار نمونه‌های منجمد شده در فرآیند انجماد جهت‌دار متأثر از گرادیان دمایی و سرعت رشد است [۱۲]. گرادیان دمایی ایجاد شده در جبهه انجماد و همچنین سرعت سرد شدن متأثر از عوامل فرآیندی نظیر سرعت حرکت نمونه، دمای کوره، میزان خروج حرارت از مبرد و تابش در بخش سرد کوره است. تحقیقات نشان می‌دهد که با افزایش سرعت حرکت نمونه، گرادیان دمایی در مابع جلوی جبهه انجماد کاهش می‌یابد. همچنین با افزایش دمای بخش داغ کوره، گرادیان دمایی درون مذاب افزایش می‌یابد [۱۲].

یکی از مواردی که سبب تشکیل دانه‌های سرگردان در رشد تکبلور می‌گردد، تبدیل رشد ستونی به هم‌محور است. تبدیل رشد ستونی به هم‌محور به عواملی نظیر ترکیب آلیاژ، ابعاد قطعه ریختگی، فوق‌گذار، ضریب انتقال حرارت فصل مشترک جامد/فلز و حضور عوامل جوانه‌زا بستگی دارد [۱۳-۱۵].

هانت و همکارانش مدلی برای تبدیل رشد ستونی به هم‌محور پیشنهاد کردند که بر پایه تحت تبرید در مذاب جلوی جبهه انجماد بوده و تأثیر ترکیب آلیاژ، دانسیته محل‌های جوانه‌زنی، گرادیان دمایی در مذاب و سرعت رشد نوک دندربیت را بررسی می‌کند. وانگ و بکرمن نیز یک مدل تئوری برای محاسبه موقعیت تبدیل رشد ستونی به هم‌محور ارائه کردند [۱۶].

در تعدادی از آزمایش‌ها که در مقالات گزارش شده است، تبدیل رشد ستونی به هم‌محور هنگامی رخ می‌دهد که گرادیان دمایی در مذاب به یک مقدار کمینه بحرانی برسد [۱۴]. سوری و همکارانش انجماد

مقدمه

پرهای تکبلور، از جمله قطعات کلیدی در ساخت توربین‌های گازی هوایی و نیروگاهی با توان بالا محسوب می‌شود. تولید قطعات تکبلور به سبب دو ویژگی مهم مورد توجه است. نخست، در مقایسه با ساختارهای چندبلوری هم‌محور و جهت‌دار، ساختار تکبلور دارای مقاومت خرزشی بالایی است. این امر به سبب حذف مرزدانه در راستای عمود بر اعمال تنش اتفاق می‌افتد. از سوی دیگر، ایجاد ساختار تکبلور با جهت بلوری <۰۰۱> در راستای طولی نمونه، سبب کاهش تخریب ناشی از خستگی حرارتی می‌شود. این امر به دلیل کمینه بودن مدول الاستیک در این راستا است [۴-۶].

به‌منظور ایجاد ساختار جهت‌دار، جبهه انجماد ریک گرادیان دمایی معین یک‌سویه با سرعت مشخص حرکت داده می‌شود. در این وضعیت، دانه‌های غیر مرجح نسبت به راستای خروج حرارت، در برخورد با دانه‌های با جهت‌گیری مرجح، متوقف می‌شوند. این پدیده تحت عنوان مکانیسم رشد رقابتی شناخته می‌شود و منجر به ایجاد یک بافت بلوری <۰۰۱> می‌گردد. در ساختارهای مکعبی، دانه‌ها تمایل دارند در راستایی رشد کنند که جهت بلوری <۰۰۱> در آن‌ها به موزات راستای خروج حرارت قرار گیرد. این جهت بلوری به عنوان جهت مرجح رشد در ساختارهای مکعبی شناخته می‌شود [۵].

به‌منظور ایجاد ساختار تکبلور، ابتدا یک ساختار ستونی با جهت بلوری مرجح و با مکانیسم رشد رقابتی ایجاد می‌شود. این بخش در قسمتی از قالب به نام بلوك آغازگر (starter block) انجام می‌شود. در ادامه، با استفاده از انتخاب‌کننده بلور، یک دانه با جهت بلوری مشخص از میان دانه‌های ستونی در حال رشد انتخاب شده و در گرادیان دمایی کنترل شده، دانه مذکور تا انتهای فرآیند انجماد رشد داده می‌شود [۶-۹].

یکی از عیوب رایج در ریخته‌گری قطعات تکبلور، ایجاد دانه‌های سرگردان در نمونه است که موجب افت

۴. کاهش تحت تبرید جوانهزنی (ΔT_n).
 جهت جلوگیری از بروز تبدیل رشد ستونی به هم محور در یک آلیاژ با ترکیب شیمیایی مشخص، کترول عوامل فرآیندی از جمله G و R اهمیت دارد. معیار هانت به عنوان ابزاری جهت تعیین شرایط بهینه رشد تکبلور، شامل گرادیان دمایی و سرعت رشد، به منظور جلوگیری از تشکیل دانه‌های سرگردان مورد استفاده قرار می‌گیرد. در این تحقیق شرایط بهینه رشد تکبلور سوپرآلیاژ پایه نیکل 111-GTD با استفاده از روش شبیه‌سازی عددی تعیین و با نتایج حاصل در فرآیند تجربی رشد بلور مورد ارزیابی قرار گرفته است. به منظور شبیه‌سازی عددی فرآیند رشد تکبلور، از روش ترکیبی المان محدود و سلول‌های خودکار (CAFE) استفاده شده است. روش عددی مذکور در مطالعات محققان در پیش‌بینی ساختار انجمادی آلیاژهای مختلف به طور وسیع مورد استفاده قرار گرفته است [۲۱-۱۷].

روش تحقیق

یکی از اهداف مهم در این تحقیق بررسی توسعه ساختار انجمادی با استفاده از مدل محاسباتی CAFE (Cellular Automaton Finite Element) است. روش مذکور به شدت وابسته به سیتیک رشد دانه بوده و نسبت به تغییرات دمایی حین فرآیند حساس است [۱۸، ۱۷]. بدین منظور تعیین تغییرات دمایی در میدان محاسباتی با دقت مناسب جهت دستیابی به نتایج مطلوب در بخش ریزساختاری ضروری است.

در این تحقیق، جهت تعیین توزیع دما در میدان محاسباتی از روش مدل‌سازی عددی به روش المان محدود استفاده شد. برای این منظور از نرم‌افزار المان محدود Procast بهره برده شد. نرم‌افزار مذکور جهت تعیین دما در میدان محاسباتی، معادله حاکم بر انرژی و مومنتوم را با توجه به خواص فیزیکی و حرارتی مواد موجود، شرایط مرزی مناسب و ضرایب انتقال حرارت

جهت دار آلیاژ آلمینیوم- مس را با مبردهای مسی و فولاد زنگ نزن و در محدوده وسیعی از فوق‌گذار موردمطالعه قرار داده‌اند. آن‌ها پس از مقایسه محل‌های تبدیل رشد ستونی به هم‌محور با مقادیر متناظر گرادیان دمایی و سرعت رشد، اظهار کرده‌اند که تحول زمانی رخ می‌دهد که $V_L^{0.64} < G_L$ باشد [۱۳].

بر اساس معیار هانت، در منطقه تحت تبرید مایع جلوی دندریت‌های ستونی، دانه‌های هم‌محور می‌توانند جوانهزنی و رشد کنند. اگر کسر حجمی اشغال شده توسط دانه‌های هم‌محور به اندازه کافی بزرگ باشد، جبهه رشد دانه‌های ستونی متوقف می‌شوند. رابطه (۱) بیانگر معیار هانت برای تبدیل رشد ستونی به هم‌محور است:

$$f_g = n_g \frac{4\pi}{81} \frac{\alpha^3}{(GR)^3} \left(\left(\frac{R}{\alpha} \right)^{\frac{3}{2}} - \Delta T_n^3 \right)^3 \quad (1)$$

که در این رابطه f_g کسر حجمی جوانه‌های به وجود آمده در مذاب است. n_g , R , G , ΔT_n , α به ترتیب عبارت از بیشینه دانسیتیه جوانه در مذاب، بیشینه تحت تبرید جوانهزنی، گرادیان دمایی، سرعت پیشروی جبهه انجماد و ضریب سیتیکی رشد دندریت است [۱۶]. بنابراین، با توجه به این امر که G و R به عنوان عوامل فرآیندی قابل کنترل است، با انتخاب مناسب این دو پارامتر برای یک آلیاژ با ترکیب شیمیایی مشخص، جلوگیری از تشکیل دانه‌های هم‌محور ممکن می‌شود. همچنین تأثیر ترکیب شیمیایی آلیاژ بر فرآیند تبدیل ستونی به هم‌محور ناشی از تأثیر ترکیب شیمیایی بر ضریب سیتیکی رشد است. برای یک سیستم آلیاژی معین با افزایش غلظت عنصر آلیاژی، مقدار عددی α کاهش یافته و تبدیل رشد ستونی به هم‌محور تغییر می‌شود. بر این اساس، موارد زیر سبب تغییر تشکیل دانه‌های هم‌محور می‌گردد:

۱. کاهش گرادیان دمایی (G)
۲. افزایش سرعت پیشروی جبهه انجماد (R)
۳. کاهش ضریب سیتیکی رشد دندریت (α) ناشی از ترکیب شیمیایی آلیاژ

در اثر تابش در نظر گرفته شده است. نرم افزار المان محدود توانایی شبیه سازی انتقال حرارت تابشی بین جداره کوره و قالب با محاسبه زوایای دید را دارد. برای این منظور از رابطه استファン-بولتزمن جهت محاسبه انتقال حرارت تابشی بهره برده می شود [۲۲]. در تحلیل تبادل پرتو برای سطوح غیر سیاه لازم است این واقعیت در نظر گرفته شود که سطوح گوناگون انعکاس و جذب های متفاوتی دارند. مطابق رابطه (۶) شار انرژی خالص نشر شده توسط یک سطح به صورت مجموع انرژی نشر شده از این سطح و انرژی جذب شده از سطوح دیگر در حال نشر است [۲۳].

$$q_{out,k} = \varepsilon_k \sigma T_k^4 + \rho_k q_{in,k} \quad (6)$$

در این رابطه $q_{out,k}$ ، شار انرژی نشر شده از سطح k ، ε_k ضریب نشر سطح k ، $q_{in,k}$ شار انرژی جذب شده از محیط پیرامون است.

محاسبات تبادل پرتو میان سطوح با تعریف ضریب دید، F_{jk} ، میسر می گردد که با این تعریف می توان کسر پرتو تابیده شده توسط یک سطح و دریافت شده توسط سطح دوم را یافت. ضریب دید F_{jk} کسری از انرژی نشر شده توسط سطح k است که توسط سطح j جذب شده است.

بخش های مختلف میدان محاسباتی در مدل سازی عددی، بر اساس اجزای سیستم اصلی رشد بلور موردن بررسی در این تحقیق طراحی گردید (شکل (۱)). انتقال حرارت بین مذاب و مبرد در فصل مشترک بلوك آغازگر و مبرد مسی آبگرد انجام می شود. با توجه به این امر که وضعیت فصل مشترک مذکور حین انجام تغییر می نماید، ضریب انتقال حرارت در این فصل مشترک با دما متغیر در نظر گرفته می شود. به منظور تعیین ضرایب انتقال حرارت در فصل مشترک نمونه/مبرد و نمونه/قالب سرامیکی از روش عددی مدل سازی معکوس نرم افزار Procast استفاده شد. بدین

در فصل مشترک ها، به روش تکرار و بر اساس معیار همگرایی تعیین شده حل می نماید.

برای تعیین دما (T) در هر گره و درنتیجه تعیین توزیع دما در میدان محاسباتی در بازه زمانی مشخص، معادله انرژی مطابق رابطه (۲) و با آگاهی از تغییرات ظرفیت گرمایی ویژه (C_p) با استفاده از روش گسته سازی المان محدود حل می گردد. با توجه به عدم وجود تلاطم در مذاب، از حل معادلات مومتوم صرف نظر شده است.

$$\rho \frac{\partial H}{\partial t} = \nabla (k \nabla T) + Q \quad (2)$$

که در آن ρ دانسیته، k ضریب هدایت حرارتی و H میانگین حجمی آنتالپی در هر سلول محاسباتی است. مقدار آنتالپی در بررسی انتقال حرارت درون مذاب از روابطی که در ادامه اشاره می شود، به دست می آید:

۱. میانگین حجمی آنتالپی برای فاز جامد: $H_s = \int_{T_0}^T C_{p,s} dT$ (۳)

۲. میانگین حجمی آنتالپی برای فاز مذاب: $H_l = \int_{T_0}^T C_{p,l} dT + L_f$ (۴)

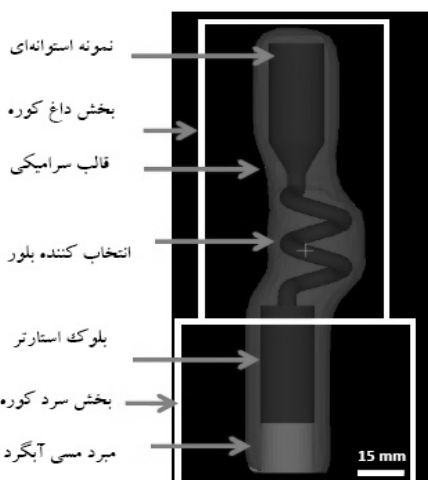
که در رابطه ذکر شده، $C_{p,l}$ و $C_{p,s}$ و L_f به ترتیب برابر گرمای ویژه در حالت مذاب و جامد و گرمای نهان گذار است [۱۶].

۳. میانگین حجمی آنتالپی برای ناحیه دوفازی (خمیری) از رابطه (۵) حاصل می شود:

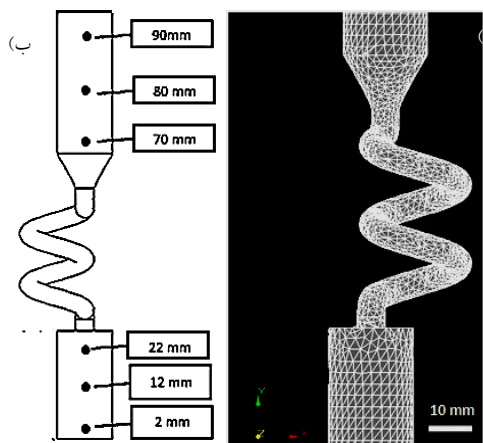
$$H = f_l H_l + (1 - f_l) H_s \quad (5)$$

که در رابطه فوق f_l برابر کسر مذاب است و تغییرات آن با در نظر گرفتن مدل انجام دادی مناسب با استفاده از داده های ترمودینامیکی نرم افزار محاسبه می شود. در محاسبات انجام شده در این پژوهش، از مدل انجام دادی تفویض برگشتی (back diffusion) بر اساس سرعت سرد شدن حاصل از اندازه گیری تجربی تغییرات دما، جهت بررسی تغییرات کسر جامد استفاده شده است.

مقدار Q در رابطه (۲)، گرمای مبادله شده با محیط



شکل ۱ اجزای میدان محاسباتی در شبیه‌سازی عددی انتقال حرارت و انجام



شکل ۲ (الف) نمونه مش بندی چهاروجهی المان محدود؛ (ب) نقاط مورد بررسی دمایی جهت تعیین گرادیان دمایی و سرعت سرد شدن نمونه

در این پژوهش به منظور شبیه‌سازی عددی ساختار انجام‌دادی از روش سلول‌های خودکار (CA) استفاده شده است. بر اساس آنچه هیسیلبارت و گوبل جهت شبیه‌سازی تشكیل دانه در فرآیند تبلور مجدد ارائه نموده‌اند، مدل CA از قواعد زیر تبعیت می‌کند [۱۸]:
 ۱. فضای بخش‌های مساوی (سلول‌ها) تقسیم می‌شود.
 در یک مدل CA دو بعدی، سلول‌ها به شکل مربع و یا شش ضلعی هستند.
 ۲. برای هر سلول روابطی با همسایگان آن تعریف می-

منظور ابتدا با استفاده از آنالیز حرارتی تغییرات دمای دو نقطه درون مذاب در فواصل ۲ و ۸۰ میلی‌متری از سطح مبرد (مطابق شکل (۲)) با استفاده از ترموموکوپیل کالیبره اندازه‌گیری شد. منحنی سرد شدن حاصل به صورت فایل متون قابل بازنخوانی توسط نرم‌افزار ذخیره شد. ضرایب انتقال حرارت در میدان محاسباتی با استفاده از روش تکرار و با در نظر گرفتن یک مقدار اولیه برای ضریب انتقال حرارت، h_0 ، با اختلاف کمتر از ۵ واحد مورد محاسبه قرار گرفت.

انتقال حرارت بین دیواره خارجی قالب سرامیکی و دو بخش داغ و سرد کوره در طول فرآیند، با توجه به زاویه دید دو سطح و بر اساس مکانیسم تابش انجام می‌شود. به سبب جابجایی نسبی نمونه و کوره، زاویه دید در طول فرآیند متغیر است. همچنین دما در بخش داغ و سرد کوره ثابت در نظر گرفته می‌شود. در بررسی انجام شده در این تحقیق ضریب انتقال حرارت بین نمونه و قالب سرامیکی ثابت و برابر $250 \text{ W.m}^{-2}\text{K}^{-1}$ فرض شده است.

جهت انجام محاسبات عددی انتقال حرارت همراه انجام‌داد به روش المان محدود، مش سطحی مثلثی و مش حجمی چهاروجهی بر میدان محاسباتی اعمال گردید. مش اعمالی در بخش‌هایی که انجام‌داد در آن‌ها صورت می‌گیرد (شامل بلوک آغازگر، انتخاب‌کننده بلور و نمونه استوانه‌ای) ظریفتر انتخاب شد. پس از بررسی‌های انجام‌گرفته با سعی و خطأ و ارزیابی عملکرد مدل عددی با استفاده از نتایج تجربی موجود در منابع مطالعاتی و سیستم فیزیکی رشد بلور، ابعاد مش اعمالی به منظور عدم وابستگی نتایج به مش‌بندی، ۲ میلی‌متر در نظر گرفته شد. مش اعمالی در بخش قالب سرامیکی و مبرد مسی آبگرد ۵ میلی‌متر در نظر گرفته شد. در شکل (۲) نمونه مش بندی اعمالی و نقاط مورد بررسی دمایی در نمونه مشخص شده است.

بالاتر از دمای منحنی مایع، اختصاص داده می‌شود. همچنین یک عدد مشخصه که تعیین‌کننده حالت هر سلول است (صفر و یک به ترتیب برای حالات مایع و جامد) به سلول تخصیص داده می‌شود. در ابتدای فرآیند حالت تمامی سلول‌ها مایع است و بنابراین به همه آن‌ها عدد صفر اختصاص داده می‌شود. با آغاز شبیه‌سازی و با هر بازه زمانی، دمای هر سلول با استفاده از محاسبات انتقال حرارت توسط روش عددی المان محدود محاسبه می‌شود. به محض رسیدن دما در یک سلول به دمای منحنی مایع، وضعیت سلول از مایع به جامد تغییر می‌کند. مکان‌های جوانه‌زنی درون مذاب به صورت اتفاقی و مطابق آنچه در ادامه توضیح داده می‌شود، تشکیل می‌شوند. همچنین فرآیند رشد دانه با رویه مونت کارلو صورت می‌گیرد.

در یک بازه زمانی، δt ، دمای هر سلول به اندازه δT افت می‌کند. بنابراین مقدار تحت تبرید به اندازه (ΔT) افزایش می‌یابد. بر این اساس، دانسته دانه‌های جدید که در حجم مذاب به وجود می‌آیند، با استفاده از رابطه

$$(7) \text{ حاصل می‌شود} [18]$$

$$\delta n_v = n_v [\Delta T + \delta(\delta T)] - n_v (\Delta T) = \int_{\Delta T}^{[\Delta T + \delta(\delta T)]} \frac{dn_v}{d(\Delta T)} d(\Delta T)$$

$$\delta n_v \cdot v = \delta N_v \quad (7)$$

که در این معادلات، n_v تعداد جوانه‌ها در واحد حجم و N_v تعداد کل جوانه‌ها در حجم مذاب، v است. جهت تعیین مکان جوانه‌ها در بین سلول‌ها، ابتدا یک عدد تصادفی، p_v بین صفر و یک به هر سلول اختصاص داده می‌شود. سپس بر اساس معادله جوانه-زنی که در بالا ارائه شد، یک عدد احتمالی تعیین می‌شود [18]:

$$(8) \quad p_v = \frac{\delta N_v}{N_{CA}} = \delta n_v \cdot V_{CA}$$

که در این رابطه، N_{CA} و V_{CA} به ترتیب تعداد کل سلول‌ها و حجم کل سلول‌ها است. در این حالت، چنانچه $p_v < 1$ باشد، وضعیت از مایع به جامد تغییر نموده و یک جوانه به وجود می‌آید. هنگامی که یک جوانه جدید به وجود آمد، یک عدد طبیعی که معرف

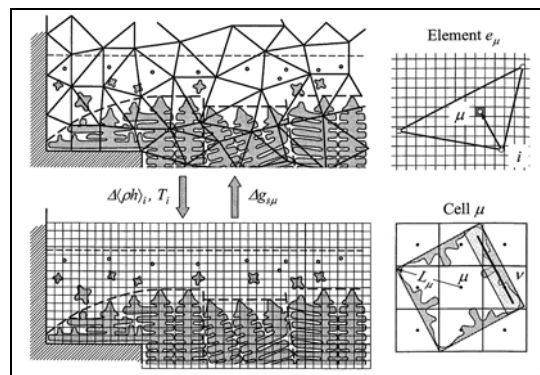
شود.

۳. هر سلول با یک سری متغیر تعریف می‌شود (برای مثال دما و جهت بلوری). همچنین برای هر سلول یک حالت فیزیکی (مایع و یا جامد) تعیین می‌شود.

۴. قوانین گذار (برای مثال گذار از مایع به جامد) که وضعیت سلول را در یک بازه زمانی تعیین می‌کند، توسط متغیرها و یا حالات اختصاص یافته به همسایگان مجاور تعیین می‌شود.

به منظور شبیه‌سازی تشکیل دانه‌ها در فرآیند انجاماد توسط CA، ابتدا شبکه‌بندی منظم در میدان محاسباتی صورت می‌گیرد. ابعاد سلول‌های مربعی شکل مورداستفاده در این پژوهش برابر 100×100 میکرومتر در نظر گرفته شد.

در ساده‌ترین شبیه‌سازی انجام شده توسط CA، ارتباط بین نزدیک‌ترین همسایگان، برای هر سلول مدنظر قرار داده می‌شود. برای سلول‌های مربعی در دو بعد، همسایگان در چهار جهت شمال، جنوب، غرب و شرق قرار دارند. از آنجاکه برای شبیه‌سازی انتقال حرارت در فرآیند، از روش المان محدود استفاده می‌شود، ابتدا میدان محاسباتی به منظور محاسبه توزیع دما مشبک می‌گردد. بنابراین هر المان می‌تواند متشکل از چندین سلول باشد. (شکل (۳)) سلول‌هایی که درون یک المان قرار دارند طبیعتاً دارای دمای واحدی برابر دمای آن المان می‌باشند.



شکل ۳ ارتباط میان سلول‌ها و المان‌های محدود در میدان محاسباتی [18]

در ابتدای فرآیند، به تمام سلول‌ها دمایی برابر و

$$v = \alpha_2 \Delta T^2 + \alpha_3 \Delta T^3 \quad (11)$$

که در این رابطه α ثابت سینتیکی رشد، v سرعت نوک دندانی و ΔT تحت تبرید نوک دندانی است. تعیین ارتباط سرعت رشد دندانی با میزان تحت تبرید (رابطه ۱۱)، از حل همزنان روابط (۱۲) الی (۱۴) حاصل می‌شود. شاعع نوک دندانی، R ، سرعت رشد، v ، توسط روابط زیر مشخص می‌شوند:

$$\Omega = \frac{c^* - c_0}{c^*(1-k)} = Iv(pe) \quad (12)$$

$$R = 2\pi \sqrt{\left(\frac{\Gamma}{mG_c \xi_c - G} \right)} \quad (13)$$

$$Pe = \frac{Rv}{2D} \quad (14)$$

که در این روابط Ω ، فوق اشباع، C_0 ، ترکیب اولیه، C^* ، غلظت نوک دندانی، k ، ضریب توزیع تعادلی و Γ ، تابع ایونانس عدد Pe است. همچنین Γ ، ضریب گیس-تامسون، G_c ، گرادیان غلظتی در نوک دندانی، G ، گرادیان دمایی در مذاب، D ، ضریب نفوذ در مذاب، m ، شیب منحنی مایع و f_s تابعی از Pe که در سرعت رشد آهسته برابر واحد است. میزان تحت تبرید ΔT ، توسط رابطه (۱۵) با فوق اشباع، Ω ، مرتبط است

$$\Delta T = mc_0 \left[1 - \frac{1}{1 - \Omega(1-k)} \right] \quad (15)$$

با در نظر گرفتن روابط (۱۲) الی (۱۵) و محاسبات مربوطه توسط نرم‌افزار Procast، مقادیر a_2 و a_3 برای سوپرآلیاژ پایه نیکل GTD-111 با ترکیب شیمیایی ارائه شده در جدول (۱) به ترتیب برابر 4.1×10^{-7} m.s⁻¹ و 6.6×10^{-7} m.s⁻¹.K³.K² مورد محاسبه قرار گرفت.

جهت بلوری است و به صورت تصادفی انتخاب می‌شود. در مختصات دو بعدی، ۴۸ جهت بلوری می‌توان در نظر گرفت که اختلاف آنها کمتر از ۲ درجه است [۱۸].

به منظور شبیه‌سازی ریزساختار با استفاده از مدل CAFE، دانسیته جوانه به وجود آمده در فصل مشترک بین مبرد و مذاب، از رابطه (۹) که توسط الگوریتم ارائه شده است، با میزان تحت تبرید مرتبط می‌شود [۲۴]:

$$n(\Delta T) = \int_0^{\Delta T} \frac{dn_v}{d(\Delta T')} d(\Delta T') \quad (9)$$

با در نظر گرفتن از بین رفتن مکان‌های جوانه‌زنی پیشین توسط جوانه‌های به وجود آمده، رابطه (۹) به صورت رابطه (۱۰) ارائه می‌شود [۱۶]:

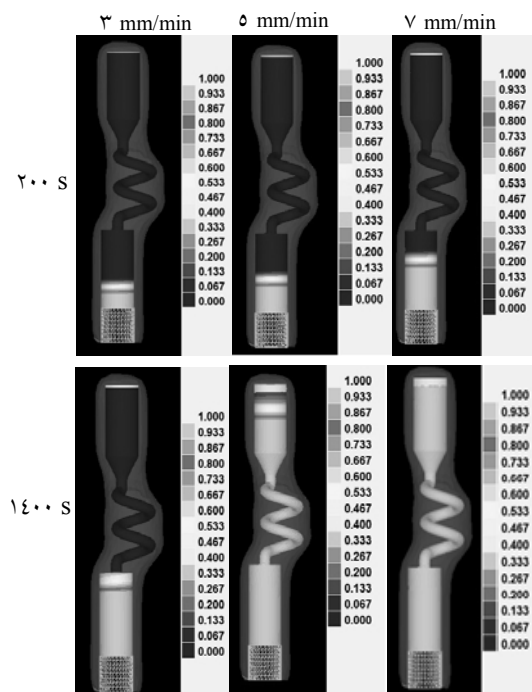
$$n(\Delta T) = \int_0^{\Delta T} \frac{dn_v}{d(\Delta T')} [1 - f_s(\Delta T')] d(\Delta T') \quad (10)$$

که در آن f_s کسر حجمی مذاب منجمد شده است و از مدل انجمادی نفوذی متناسب با سرعت سرد شدن به دست می‌آید. سرعت سرد شدن بر اساس نتایج تجربی حاصل از آنالیز حرارتی استنتاج می‌شود. جهت انتگرال-گیری از رابطه (۹)، معمولاً یک تابع توزیع گوسی استفاده می‌شود. این تابع دارای سه پارامتر است که عبارت‌اند از: میزان تحت تبرید بیشینه (ΔT_{max})، چگالی نهایی دانه‌ها (n) و انحراف معیار (ΔT_s) [۱۶]. بر اساس منابع مطالعاتی و برای آلیاژ موردنبررسی در این تحقیق مقادیر فوق به ترتیب ۷ درجه سانتی‌گراد، 1×10^9 دانه بر مترمکعب و 0.5 درجه سانتی‌گراد منظور گردید. سرعت رشد دندانی با توجه به مدل ارائه شده توسط KGT (Kurz-Giovanola-Trivedi) که در [۲۵] ارائه شده است، در یک مذاب با میزان تحت تبرید آن به صورت رابطه (۱۱) در مدل CAFE مورداستفاده قرار می‌گیرد [۲۵].

جدول ۱ ترکیب شیمیایی سوپرآلیاژ GTD-111

Cr	Co	Mo	W	Al	Ti	Ta	Zr
13.5	9.41	1.68	3.69	3.40	4.88	3.90	0.01
C	Cu	S	P	Mn	Si	Nb	Fe
0.09	0.012	0.001	0.003	0.001	0.02	0.05	0.02

حجمی جامد بیشتری در زمان‌های کوتاه‌تر حاصل می‌شود. این امر نشان‌دهنده ایجاد سرعت سرد شدن بالاتر در سرعت‌های حرکت بیشتر است. همچنین تغییرات سرعت سرد شدن نمونه (T_i یا G.R) و گرادیان دمایی (G) مطابق آنچه از محاسبات حاصل شده است، در ادامه ارائه شده است. نمونه مورد بررسی به منظور حصول گرادیان دمایی لازم برای مدت زمان ۱۵ دقیقه در فوق گذار ۲۰۰ درجه سانتی گراد نگهداری شده است. این پدیده ناشی از تأثیر بیشتر پدیده تابش در دماهای بالا است. بدین معنا که با افزایش دما، میزان گرمای منتقل شده توسط تابش افزایش یافته و درنتیجه سبب کاهش سرعت سرد شدن نمونه حتی در تماس با مبرد آبگرد می‌گردد. شکل (۵) مقایسه‌ای بین نتایج تجربی و محاسبه شده تغییرات منحنی سرد شدن در بلوك آغازگر و نمونه استوانه‌ای را ارائه نموده است. نتایج، نشان‌دهنده نزدیک بودن داده‌های تجربی و محاسبه شده پس از اصلاح ضرایب انتقال حرارت است.



شکل ۴ روند تغییرات کسر جامد برای سه سرعت ۳، ۵ و ۷ میلی‌متر بر دقیقه در زمان‌های ۲۰۰ و ۱۴۰۰ ثانیه

کوره انجام‌داد جهت دار مورد استفاده، از یک بخش داغ تشکیل شده است. بخش مذکور از یک لوله از جنس گرافیت فشرده تهیه شده است. یک کویل القایی RF سبب گرمایش گرافیت تا دمای حدود ۱۶۰۰ درجه سانتی گراد شده و تابش بین کوره و قالب صورت می‌گیرد. قالب سرامیکی از جنس آلومینیا بر روی یک پایه مبرد آبگرد قرار گرفته و مجموعه قالب و مبرد قابلیت حرکت در راستای Z با سرعت معین را دارد. سرد شدن نمونه توسط مبرد آبگرد و همچنین تابش بین دیواره قالب با اطراف انجام می‌شود.

بررسی‌های ریزساختاری نمونه‌های تک‌بلور سوپرآلیاژ پایه نیکل با استفاده از میکروسکوپ نوری (MELIJI) انجام شد. جهت آشکارسازی ریزساختار از محلول ماریل با ترکیب شیمیایی 10grCuSO₄+50cc HCl+50cc H₂O استفاده شد.

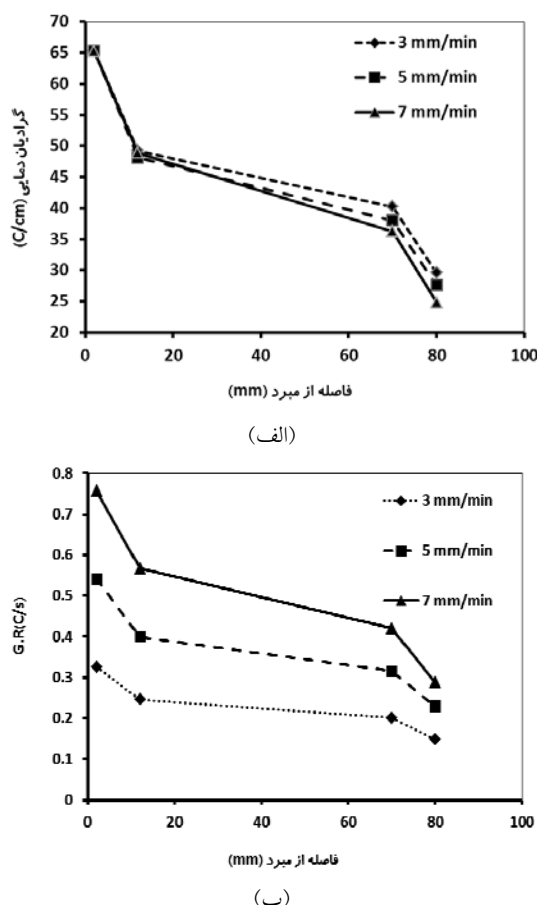
به منظور ارزیابی جهات کریستالی تک‌بلور نهایی در راستای بلوری مشخص از آنالیز الگوی پراش الکترون‌های برگشتی (EBSD) استفاده شد. بدین منظور از آشکارساز نصب شده بر روی دستگاه میکروسکوپ الکترونی رویشی مدل Zeiss و نرم‌افزار HKL جهت آنالیز تصاویر قطبی و نقشه جهات بلوری استفاده شد. جهت آماده‌سازی نمونه به منظور بررسی جهات بلوری با استفاده از EBSD، نمونه‌ها پس از سنباده‌زنی با نمد پولیش و خمیر الماس تا سایز ۴۰۰ نانومتر پولیش شد. به منظور از بین بردن ناصافی‌های موجود، با استفاده الکتروپولیش در الکترولیتی از اسید فسفریک، گلیسیرین و آب در ولتاژ مناسبی که به صورت تجربی حاصل شد، پولیش گردید.

نتایج و بحث

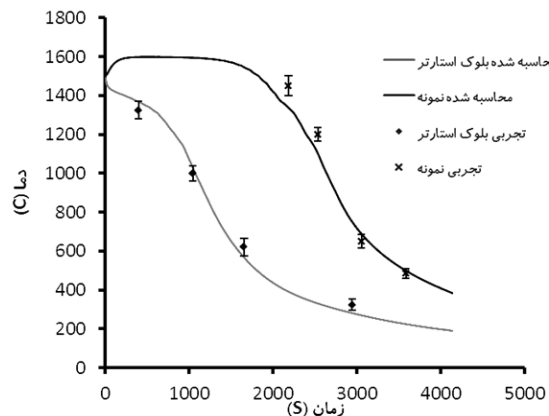
در شکل (۴) تغییرات کسر حجمی منجمد شده نمونه سوپرآلیاژ پایه نیکل در سرعت حرکت ۳، ۵ و ۷ میلی‌متر بر دقیقه در دو زمان ۲۰۰ و ۱۴۰۰ ثانیه به عنوان نمونه ارائه شده است.

مطابق شکل (۴) در سرعت حرکت بالاتر، کسر

انجام شده، این مسئله سبب می‌گردد تا در قطعات بزرگ فرآیند رشد با مشکل جوانه‌زنی دانه‌های سرگردان مواجه شود [۲۶]. به منظور جبران این ضعف، فرآیند رشد تک بلور به روش سرد کردن در حمام مذاب فلز LMC (Liquid Metal Cooling) توسعه یافته و مورد استفاده قرار می‌گیرد. در این روش دستیابی به گرادیان‌های دمایی بیشتر جهت کاهش عیوب ساختاری و همچنین بهبود خواص نهایی امکان‌پذیر است [۲۶].



شکل ۶ نتایج شبیه‌سازی شده (الف) تغییرات گرادیان دمایی؛ (ب) سرعت سرد شدن (G/R) در سرعت‌های سرد شدن ۳، ۵ و ۷ میلی‌متر بر دقیقه در نقاط مختلف سطح مبرد مطابق شکل (۲) ارائه شده است. همان‌گونه که در شکل (۶-الف) مشاهده می‌شود، گرادیان دمایی در بخش بلوک آغازگر، چندان متأثر از سرعت رشد نبوده و برای همه سرعت‌های حرکت نمونه، تقریباً عددی یکسان است. در بخش‌های بالای نمونه، گرادیان دمایی با افزایش سرعت حرکت نمونه کاهش می‌یابد. همچنین نمودار (۶-ب) نشان‌دهنده آن است، که با افزایش سرعت حرکت نمونه، سرعت سرد شدن در یک مکان مشخص از نمونه، افزایش می‌یابد. این مسئله به سبب خروج بیشتر حرارت از نمونه به شیوه تابش بین بخش منجمد شده و محیط سرد با افزایش سرعت حرکت نمونه منجر به افزایش زاویه دید بین نمونه و محیط سرد می‌گردد.



شکل ۵ مقایسه نتایج تجربی و شبیه‌سازی شده حین سرد شدن سوپرآلیاژ پایه نیکل در دو نقطه درون بلوک آغازگر و نمونه استوانه‌ای

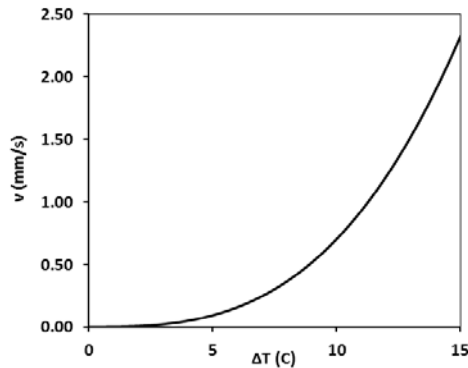
در شکل (۶) نتایج حاصل از بررسی تغییرات گرادیان دمایی و همچنین سرعت سرد شدن نمونه (G.R) در سرعت‌های ۳، ۵ و ۷ میلی‌متر بر دقیقه در فواصل مختلف از سطح مبرد مطابق شکل (۲) ارائه شده است. همان‌گونه که در شکل (۶-الف) مشاهده می‌شود، گرادیان دمایی در بخش بلوک آغازگر، چندان متأثر از سرعت رشد نبوده و برای همه سرعت‌های حرکت نمونه، تقریباً عددی یکسان است. در بخش‌های بالای نمونه، گرادیان دمایی با افزایش سرعت حرکت نمونه کاهش می‌یابد. همچنین نمودار (۶-ب) نشان‌دهنده آن است، که با افزایش سرعت حرکت نمونه، سرعت سرد شدن در یک مکان مشخص از نمونه، افزایش می‌یابد. این مسئله به سبب خروج بیشتر حرارت از نمونه به شیوه تابش بین بخش منجمد شده و محیط سرد با افزایش سرعت حرکت نمونه منجر به افزایش زاویه دید بین نمونه و محیط سرد می‌گردد.

بر اساس نتایج ارائه شده در شکل (۶-الف)، با افزایش فاصله از سطح مبرد، گرادیان دمایی کاهش می‌یابد. این امر به سبب کاهش قدرت سردکنندگی از قسمت‌های پایینی نمونه است. براساس تحقیقات

افزایش گرادیان دمایی جهت حصول به ساختار تک بلور مناسب، ضروری است. چنانچه گرادیان دمایی کافی در جبهه انجماد حاصل نشود، امکان جوانه‌زنی

بالاتر نسبت به سطح مبرد بیشتر به وجود می‌آید. به منظور بررسی تحلیل ارائه شده، نتایج شبیه‌سازی عددی ریزساختار انجام‌دادی و همچنین نتایج تجربی رشد تک بلور سوپر آلیاژ پایه نیکل مورد بررسی قرار گرفته است. همان‌گونه که پیشتر نیز اشاره شد، جهت شبیه‌سازی ساختار انجام‌دادی، اطلاع از سرعت رشد نوک دندانیت از اهمیت بالایی برخوردار است. بر اساس مقادیر حاصل از محاسبه ضریب سینتیکی رشد، نمودار تغییرات سرعت رشد دندانیت بر حسب میزان تحت تبرید تحت تبرید به صورت منحنی شکل (۸) است.

CAFE شبیه‌سازی عددی رشد دانه به روش عددی بر اساس منحنی ارائه شده در این شکل صورت می‌گیرد.

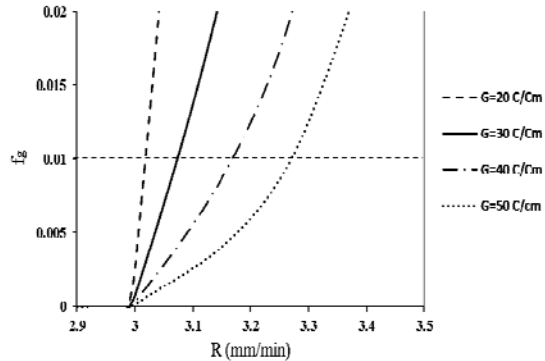


شکل ۸ تغییرات سرعت نوک دندانیت بر حسب میزان تحت تبرید در نوک دندانیت

تکرار متعدد شبیه‌سازی عددی با مدول CAFE برای سوپر آلیاژ پایه نیکل در سرعت‌های بیش از ۳ میلی‌متر بر دقیقه نشان می‌دهد که دستیابی به تک بلور در سرعت‌های مذکور ممکن نیست. در شکل (۹) نتایج شبیه‌سازی دانه‌بندی ایجاد شده برای دو نمونه با سرعت‌های حرکت نمونه ۳ و ۵ میلی‌متر بر دقیقه ارائه شده است.

دانه‌های جدید و ایجاد دانه‌های سرگردان محتمل است. کاهش گرادیان دمایی در اثر افزایش سرعت رشد و یا کاهش دمای کوره، سبب کاهش گرادیان دمایی و متعاقباً سبب جوانه‌زنی دانه‌های سرگردان خواهد شد [۲۷]. [۲۸]

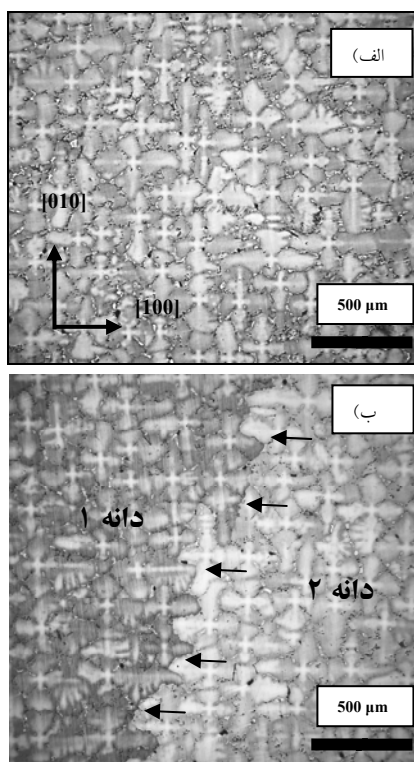
آنچه در این تحقیق به عنوان معیاری به منظور تعیین کمترین گرادیان دمایی لازم جهت فرآیند رشد بلور ضرورت دارد، معیار هانت (رابطه ۱) برای تعیین شرایط تبدیل دانه‌های ستونی به هم محور است [۱۶]. شکل (۷) نشان دهنده تغییرات f_0 برای سوپر آلیاژ پایه نیکل بر حسب سرعت رشد برای گرادیان‌های دمایی نشان داده شده است. شکل (۷) درواقع نمود ترسیمی از معادله (۱) است. جهت جلوگیری از جوانه‌زنی دانه جدید در جلوی جبهه انجام‌داد، مقدار عددی f_0 باید کمتر از ۰/۰۱ باشد.



شکل ۷ نمودار تغییرات f_0 بر حسب سرعت رشد برای مقادیر مشخص شده گرادیان دمایی که از رابطه (۱) و برای سوپر آلیاژ پایه نیکل استخراج شده است

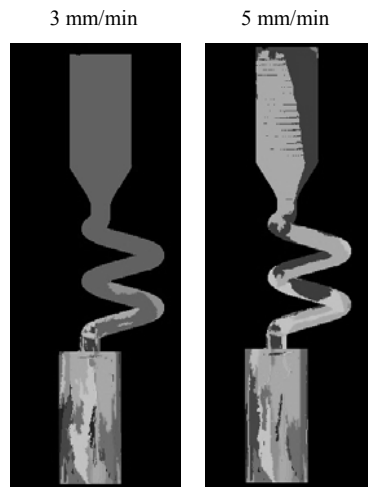
بنابر نمودار شکل (۷)، برای سوپر آلیاژ پایه نیکل در گرادیان دمایی ۲۰ الی ۳۰ درجه بر سانتیمتر، سرعت رشد نباید از ۳ میلی‌متر بر دقیقه تجاوز نماید. همان‌گونه که در شکل (۶) مشاهده می‌شود، گرادیان دمایی در سرعت رشد بیش از ۳ میلی‌متر بر دقیقه به کمتر از ۳۰ درجه بر سانتی‌متر افت می‌کند. این پدیده در فواصل

به منظور بررسی صحت نتایج شبیه‌سازی عددی ریزاساختار انجام‌دادی، ریزاساختار نمونه‌های سوپر آلیاژ پایه نیکل در شکل (۱۱) ارائه شده است. در شکل (۱۱-الف) ساختار نمونه آلیاژ رشد داده شده با سرعت ۳ میلی‌متر بر دقیقه مشاهده می‌شود. همان‌گونه که در این شکل مشاهده می‌شود، مرز قابل تشخیص که نشان‌دهنده دانه سرگردان باشد، مشاهده نمی‌شود. ردیف منظم دندربیت‌ها در راستای بلوری $<001>$ در این تصویر مشاهده می‌شود. در شکل (۱۱-ب) ریزاساختار نمونه آلیاژ رشد داده شده با سرعت ۵ میلی‌متر بر دقیقه ارائه شده است. دو دانه با مرز مشخص در این تصویر مشخص شده است. مرز دانه در این تصویر با استفاده از پیکان‌های مشکی مشخص شده است.



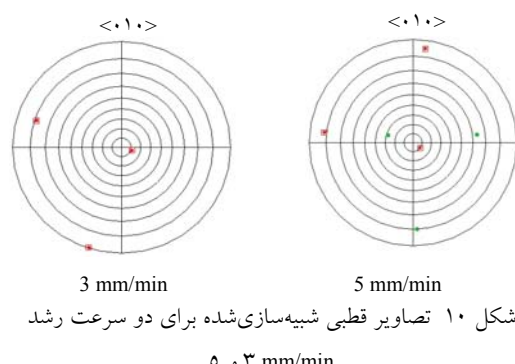
شکل ۱۱ ریزاساختار نمونه سوپر آلیاژ پایه نیکل که با سرعت (الف) ۳ میلی‌متر بر دقیقه؛ (ب) ۵ میلی‌متر بر دقیقه رشد داده شده است

شکل (۱۲) نقشه جهات بلوری و تصویر معکوس قطبی در مقطع عرضی نمونه آلیاژ تکبلور را که با



شکل ۹ نتایج شبیه‌سازی ریزاساختار انجام‌دادی سوپر آلیاژ پایه نیکل در دو سرعت رشد ۳ و ۵ میلی‌متر بر دقیقه

همان‌گونه که در این تصاویر مشاهده می‌شود، در مورد نمونه با سرعت حرکت ۵ میلی‌متر بر دقیقه تکبلور حاصل نشده است. در مورد نمونه با سرعت حرکت ۳ میلی‌متر بر دقیقه ساختار تکبلور حاصل شده است. در تصویر (۱۰) نیز تصاویر قطبی حاصل از شبیه‌سازی عددی برای دو نمونه نشان داده شده، ارائه شده است. این تصاویر نشان‌دهنده ایجاد دو دانه با انحراف ۱۰ و ۲۹ درجه در نمونه رشد داده با سرعت حرکت ۵ میلی‌متر بر دقیقه و تشکیل تکبلور با انحراف ۱۱ درجه نسبت به راستای $<001>$ در نمونه با سرعت حرکت ۳ میلی‌متر بر دقیقه است. دانه با اختلاف جهت ۲۹ درجه نسبت به راستای رشد مرجع، یک دانه سرگردان با انحراف زیاد نسبت به راستای مرجع محسوب می‌شود و سبب افت خواص مکانیکی در دمای بالا می‌شود.



شکل ۱۰ تصاویر قطبی شبیه‌سازی شده برای دو سرعت رشد ۳ و ۵ mm/min

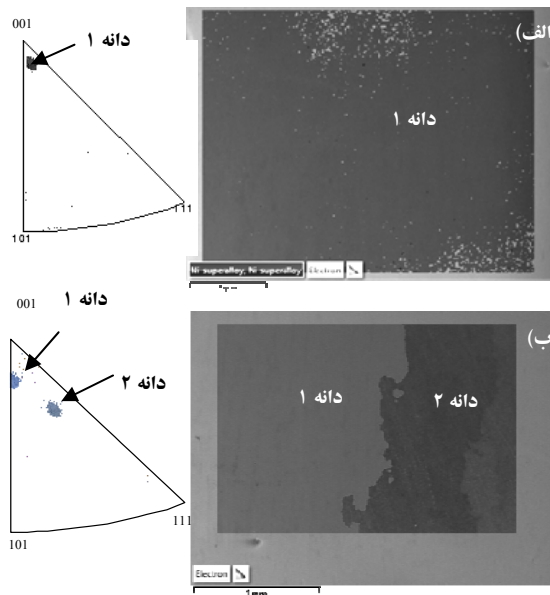
است. مطالعات پارامتریک انجام شده با استفاده از مدل عددی توسعه یافته در این تحقیق نشان دهنده کاهش گرادیان دمایی با افزایش سرعت رشد نمونه در فرآیند انجماد جهت دار است. برای مثال، افزایش سرعت رشد از 3 به 5 میلی متر بر دقیقه، گرادیان دمایی در نقطه‌ای به فاصله 80 میلی متر از مبدأ، از 32 به 28 درجه سانتی گراد بر سانتی‌متر کاهش می‌یابد. همچنین نتایج بررسی‌های نشان دهنده کاهش گرادیان دمایی در نمونه با افزایش فاصله از سطح مبدأ است. این مسئله به سبب کاهش تأثیر سرمایش ناشی از خروج حرارت از مبدأ با فاصله گرفتن از آن است. بنا بر معیار هانت، تبدیل رشد ستونی به هم محور و جوانه‌زنی و رشد دانه‌های سرگردان، متأثر از گرادیان دمایی و سرعت رشد نمونه و همچنین سیستیک رشد دانه است. سیستیک رشد دانه نیز به نوبه خود متأثر از ترکیب شیمیایی آلیاژ است. محاسبات انجام شده با استفاده از مدل ارائه شده توسط (KGT) Kurz-Giovanola-Trivedi (ضرایب سیستیکی رشد دندرتیت) برای سوپرآلیاژ پایه نیکل به ترتیب برابر 4.1×10^{-7} $\text{m.s}^{-1} \cdot \text{K}^2$ و 6.6×10^{-7} مورد محاسبه قرار گرفت.

براساس محاسبات صورت گرفته برای سوپرآلیاژ پایه نیکل و بر مبنای معیار تبدیل رشد ستونی به هم محور که توسط هانت ارائه شده است، جهت جلوگیری از تشکیل دانه‌های سرگردان در نمونه آلیاژ ذکور در فرآیند رشد تک‌بلور، در گرادیان دمایی بین 20 الی 30 درجه سانتی گراد بر سانتی‌متر، سرعت رشد نمونه می‌باشد در حدود 3 میلی متر بر دقیقه اعمال گردد. نتایج شبیه‌سازی عددی و همچنین نتایج عملی رشد تک‌بلور سوپرآلیاژ پایه نیکل نیز مؤید این مطلب است.

بررسی‌های انجام شده نشان دهنده این امر است، که برای سوپرآلیاژ پایه نیکل در فرآیند رشد تک‌بلور، در سرعت سرد شدن بیش از $0/3$ درجه بر ثانیه امکان جوانه‌زنی دانه سرگردان وجود دارد.

سرعت 3 و 5 میلی متر بر دقیقه رشد داده شده است، ارائه می‌نماید. نقشه جهات بلوری نمونه رشد داده شده با سرعت 3 میلی متر بر دقیقه عدم وجود مرزدانه مشخص را نشان می‌دهد. لیکن در مورد نمونه با سرعت رشد 5 میلی متر بر دقیقه وجود دو دانه به‌طور مشخص قابل تشخیص است. تصاویر معکوس قطبی نیز مؤید این مطلب است که در نمونه با سرعت رشد 5 میلی متر بر دقیقه دو دانه با اختلاف جهت‌گیری زیاد قابل مشاهده است.

همان‌گونه در مورد نمونه رشد داده شده در سرعت 3 میلی متر بر دقیقه مشاهده می‌شود، یک دانه متمایل به قطب $<110>$ و دارای انحرافی برابر 4 درجه به وجود آمده است.



شکل ۱۲ نقشه جهات بلوری و تصویر قطبی معکوس نمونه تک‌بلور سوپرآلیاژ پایه نیکل در سرعت رشد (الف) 3 میلی متر بر دقیقه؛ (ب) 5 میلی متر بر دقیقه

نتیجه‌گیری

بررسی نتایج حاصل از شبیه‌سازی عددی انتقال حرارت و ریزساختار و مقایسه آن با نتایج تجربی، نشان دهنده همخوانی مناسب نتایج مدل عددی توسعه داده شده برای سوپرآلیاژ پایه نیکل با یافته‌های آزمون‌های تجربی

مراجع

1. Reed R.C., "The Superalloys: Fundamentals and Applications", *Cambridge University Press*, Cambridge, (2006).
2. Ross E.W., Sims C.T., "Superalloy", *John Wiley & Sons*, New York, (1987).
3. Gell M., Duhl D.N., Giamei A.F., "Superalloys", *American Society for Metals*, Metals Park, OH, (1980).
4. McLean M., "Directionally Solidified Materials for High Temperature Service", *The Metals Society*, (1983).
5. Versnyder F., Shank F.E., "The Development of Columnar Grain and Single Crystal High Temperature Materials through Directional Solidification", *Materials Science and Engineering*, Vol. 6, pp. 213-247, (1970).
6. Zhou Y.Z., Green N.R., "Mechanism of Competitive Grain Growth In Directional Solidification Of A Nickel-Base Superalloy", *Acta Materialia*, Vol. 56, pp. 2631–263, (2010).
7. Meng X.B., Lua Q., Zhang X.L., Li J.G., Chen Z.Q., Wang Y.H., Zhou Y.Z., Jin T., Sun X.F., Hu Z.Q., "Mechanism Of Competitive Growth During Directional Solidification Of A Nickel-Based Superalloy In A Three-Dimensional Reference Frame", *Acta Materialia*, Vol. 60, pp. 3965–3975, (2012).
8. Xinbao Zh., Lin L., Weiguo Zh., Min Q., Jun Zh., Hengzhi F., "Analysis of Competitive Growth Mechanism of Stray Grains of Single Crystal Superalloys during Directional Solidification Process", *Rare Metal Materials and Engineering*, Vol. 40, 9 -13, (2011).
9. Zhou Y.Z., Green N.R., "Mechanism of Competitive Grain Growth in Directional Solidification of A Nickel-Base Superalloy", *Acta Materialia*, Vol. 56, pp. 2631–2637, (2011).
10. Zhou Y., Volek A., "Effect Of Carbon Additions On Hot Tearing Of A Second Generation Nickel-Base Superalloy", *Materials Science and Engineering A*, Vol. 479, pp. 324-332, (2009).
11. Cutler E.R., Wasson A.J., Fuchs G.E., "Effect Of Minor Alloying Additions On The Solidification Of Single-Crystal Ni-Base Superalloys", *Journal of Crystal Growth*, Vol. 311, pp. 3753–3760., (2009).
12. Gunduz M., Adirli E.C., "Directional Solidification of Aluminium–Copper Alloys", *Materials Science and Engineering A*, Vol. A327, pp. V, (2002).
13. Ares A.E., Gueijman S.F., Schvezov C.E., "An Experimental Investigation of The Columnar-To-Equiaxed Grain Transition In Aluminium–Copper Hypoeutectic And Eutectic Alloys", *Journal of Crystal Growth*, Vol. 312, pp. 2154–2170, (2010).
14. Willers B., Eckert S., Michel B., Haase I., Zouhar G., "The Columnar-To-Equiaxed Transition In Pb–Sn Alloys Affected By Electromagnetically Driven Convection", *Materials Science and Engineering A*, Vol. 402, pp. 55-65, (2005).
15. Dong Q., Zhang J., Dong J., Xie H., Li Zh., Dai Y., Liu Y., Sun B., "In Situ Observation of

- Columnar-To-Equiaxed Transition In Directional Solidification Using Synchrotron X-Radiation Imaging Technique", *Materials Science and Engineering A*, Vol. 530, pp. 271-276, (2011).
16. Dantzig J.A., Rappaz M., "Solidification", EPFL Press, (2009).
 17. Rappaz M., "Probabilistic Modeling of Microstructure Formation in Solidification Processes", *Acta Metallurgica Materialia*, Vol. 41, pp. 345-360, (1993).
 18. Lin Zh., Cai-bei Zh., "Two-Dimensional Cellular Automaton Model for Simulation Structure Evolution of Binary Alloys during Solidification", *Transactions of nonferrous metals society of China*, Vol. 16, pp. 1410-1416, (2006).
 19. Ying L., Qingyan L., Baicheng L., "A Modified Cellular Automaton Method for The Modelling Of Dendritic Morphology Of Binary Alloys", *Tsinghua Science and Technology*, Vol. 11, pp. 495-500, (2006).
 20. Gandin Ch., Rappaz M., "a coupled finite element cellular automaton model for the prediction of the dendritic grain structure in solidification processes", *Acta Metallurgica Materialia*, Vol. 42, No. 7, pp. 2233-2246, (1994).
 21. Gandin Ch., Desbioles J., Rappaz M., Thevez Ph., "A three-dimensional cellular automaton-finite element model for prediction of solidification grain structures", *Metallurgical and Materials Transactions A*, Vol. 30A, pp. 3153-3165, (1999).
 22. Toloraiy, V.N., Orekhov N.G., Kablov E.N., "Advanced Method for Single Crystal Casting Of Turbine Blades For Gas Turbine Engines And Plants", *Metal Science and Heat Treatment*, Vol. 44, No. 7 – 8, pp.11-16 (2002).
 23. Poirier D.R, "Transport phenomena in materials processing", ed. TMS. (1994).
 24. Kurz W., Fischer D.J., "Fundamentals of Solidification", Trans Tech Publications, (1986).
 25. Kurz W., Giovanola B., Trivedi R., "Theory of Microstructural Development during Rapid Solidification", *Acta Metallurgica Materialia*, Vol. 34, No. 5, pp. 823.-830, (1986).
 26. Elliott, A.J., Tin S., King W.T., Huang S.C, Gigliotti M.F., Pollock T.M., "Directional Solidification of Large Superalloy Castings with Radiation and Liquid-Metal Cooling: A Comparative Assessment", *Metallurgical and Materials Transactions A*, Vol. 35A, pp. 3221-3231, (2004).
 27. Li, X., Fautrelle Y., Ren Zh., Gagnoud A., Zhang Y., Esling C., "Morphological instability of interface, cell and dendrite during directional solidification under strong magnetic field", *Journal of Crystal Growth*, Vol. 318, pp. 23–27, (2011).
 28. Zhou, Y., "Formation of stray grains during directional solidification of a nickel-based superalloy", *Scripta Materialia*, Vol. 65, pp. 281–284, (2011).